

## اثر دمای آنیلینگ بر رفتار خوردگی و ساختار نانوشبه بلورهای Al-Cu-Ni تولید شده به روش آلیاژسازی مکانیکی

زهرا نعمتی<sup>\*</sup><sup>۱</sup>، رسول امینی<sup>۲</sup>، محمدعلی زارع<sup>۳</sup>، فاطمه علیجانی<sup>۴</sup>، مرتضی علیزاده<sup>۵</sup>، میثم امینی<sup>۶</sup>، محمد مهدی سرو گلوی حقیقی فرد<sup>۷</sup>

### چکیده

شبه بلورهای مانند بلورهای دارای ساختاری منظم اما غیر تناوبی هستند. این ساختارها در آلیاژهای پایه آلومینیوم، زیرکونیوم و تیتانیوم ایجاد می‌شوند. یکی از انواع این مواد پیشرفته سیستم آلیاژی Al-Cu-Ni بوده که دارای فازهای منظم تهی جای (VOP) می‌باشد و به عنوان شبه بلورهای تک بعدی شناخته می‌شوند. از آن جایی که تاکنون گزارش‌های انگشت شماری در زمینه ساخت آلیاژ Al-Cu-Ni به روش آلیاژسازی مکانیکی ارائه شده است، تولید ترکیب  $Al_{70}Cu_{20}Ni_{10}$  به وسیله آسیاکاری پودرهای عنصری و عملیات حرارتی بعدی مد نظر قرار گرفت. سپس نمونه‌های تهیه شده از پودرهای آلیاژی توسط پراش اشعه X (XRD) مورد مطالعه ساختاری قرار گرفت. در نهایت توسط آزمون پلاریزاسیون خطی، مقاومت به خوردگی الکتروشیمیایی ترکیبات تولیدی، مورد بررسی قرار گرفت. بر اساس نتایج حاصل از آنالیز ساختاری، مشخص شد که با افزایش دما میزان فاز شبه بلور تک بعدی  $\tau_3$  افزایش یافته و از مقدار ترکیب بلوری بین فلزی  $Al_2Cu$  ( $\theta$ ) کاسته می‌شود. هم‌چنین نتایج آزمون خوردگی حاکی از بهبود رفتار خوردگی ترکیب تولیدی با افزایش فاز شبه بلوری  $\tau_3$  می‌باشد.

**واژه‌های کلیدی:** آلیاژسازی مکانیکی، ترکیب Al-Cu-Ni، خوردگی الکتروشیمیایی، نانوشبه بلور.

<sup>۱</sup>- دانشجوی کارشناسی ارشد، دانشکده مهندسی و علم مواد، دانشگاه صنعتی شیراز.

<sup>۲</sup>- استادیار دانشکده مهندسی و علم مواد، دانشگاه صنعتی شیراز.

<sup>۳</sup>- مریبی گروه شیمی، دانشگاه آزاد اسلامی واحد مرودشت.

<sup>۴</sup>- دانشجوی سابق کارشناسی ارشد، دانشکده مهندسی و علم مواد، دانشگاه صنعتی شیراز.

<sup>۵</sup>- دانشجوی کارشناسی ارشد، دانشکده مهندسی و علم مواد، دانشگاه صنعتی شیراز.

<sup>۶</sup>- نویسنده مسؤول مقاله: z.nemati1365@gmail.com

در نتیجه می‌توان گفت سیستم Al-Cu-Ni، دارای نظمی از مکانهای پر و خالی به ترتیب فیبوناچی در طول زنجیره شبه تنابو [۱۱۱] است [۹ و ۱۰]. در شرایط نامنظم، می‌توان ساختار bcc (B2 بی نظم شده) و در شرایط منظم شده می‌توان فاز  $\tau_3$  یا فازهای منظم تهی جای با نظم بالاتر، بسته به ترکیب و شرایط فرایند انتظار داشت [۱۱۱].

فاز  $\tau_3$  به صورت یک شبکه مکعبی دارای  $a_{(B2)} = 3a_{(2)}$  با کمی اعوجاج در طول [۱۱۱] می‌باشد. در سیستم Al-Ni، فاز منظم تهی جای یک فاز پایدار است [۱۲] در حالیکه این ساختار در سیستم Al-Cu شبه پایدار می‌باشد [۱۳]. در سیستم سه تایی Al-Cu-Ni تیز فاز  $\tau_3$ ، به عنوان یک فاز پایدار شناخته شده است [۱۱]. در این سیستم علاوه بر فاز  $\tau_3$ ، ترکیب بین فلزی ( $\theta$ )  $Al_2Cu$  نیز تشکیل می‌گردد.

روش‌های گوناگونی برای ساخت ترکیبات شبه بلوری وجود دارد که مهمترین آن‌ها شامل انجماد سریع، ذوب قوسی، رسوب از فاز بخار و روش آلیاژسازی مکانیکی می‌باشد. از این میان آلیاژسازی مکانیکی، یک روش مناسب و اقتصادی جهت تولید این ترکیبات به صورت نانو ساختار می‌باشد. این روش یک فرایند پودری است که پودرهای موردنظر که معمولاً مخوطی از پودرهای عنصری می‌باشند، تحت آسیاکاری با انرژی بالا در یک محیط مناسب قرار می‌گیرند. سینتیک آسیاکاری مکانیکی یا آلیاژسازی، وابسته به انرژی انتقالی از گلوله‌ها به پودر در حین آسیاکاری می‌باشد. انرژی انتقالی توسط پارامترهایی نظیر نوع آسیا، نسبت حجم پودر به محفظه، سرعت آسیاکاری، اندازه و توزیع اندازه گلوله‌ها، دمای آسیا کاری و ... تعیین می‌گردد [۱۴]. این روش علاوه بر تولید ترکیبات شبه بلوری، قابلیت تولید اکثر فازهای بین فلزی، سرامیک‌ها و هم‌چنین ساختارهای دور از حالت تعادل را دارا می‌باشد [۱۵ و ۱۶]، هم‌چنین توسط این روش می‌توان پودر فلزی نانوساختار نیز تولید نمود [۱۷].

از آنجایی که تاکنون در زمینه ساخت و بررسی خواص خوردگی ترکیبات بین فلزی شبه بلور Al-Cu-Ni مطالعات کمی صورت گرفته است، در این پژوهش، ترکیب  $Al_{70}Cu_{20}Ni_{10}$  به روش آلیاژسازی مکانیکی و عملیات

## پیشگفتار

شبه بلورها<sup>۱</sup> دارای ساختاری منظم مانند بلورها اما غیر تناوبی هستند. یک الگوی شبه بلوری می‌تواند تمام فضای مورد نظر را پر کند اما فاقد تقارن انتقالی است. تنابو اتمی در شبه بلورها به صورت تقارن چرخشی ۵، ۸، ۱۰ و ۱۲ وجهی است که در بلورها وجود ندارد. این شبه بلورها دارای ساختارهای آیکوزاهدرال<sup>۲</sup>، اکتاگونال<sup>۳</sup>، دکاگونال<sup>۴</sup> و دودکاگونال<sup>۵</sup> می‌باشند [۲۱]. به دلیل ساختار اتمی منحصر به فرد و در نتیجه ایجاد خواص ویژه‌ای از قبیل عایق حرارتی و الکتریکی بالا [۳]، سختی بسیار مناسب [۴]، ضربی اصطکاک پایین [۵]، مقاومت به خوردگی بالا [۶] و ...، آلیاژهای شبه بلوری در چندین سال اخیر مورد توجه بسیاری قرار گرفته است. برای هر کاربردی از شبه بلورها و پوشش‌های شبه بلوری مثل ظروف مخصوص آشپزی، پرهای توربین و ...، مقاومت به خوردگی از مهمترین ویژگی‌های آن‌ها می‌باشد [۷].

آلیاژهای پایه آلومینیوم از مهمترین آلیاژهای شناخته شده هستند که در آن‌ها ساختارهای شبه بلوری ایجاد می‌گردد. سیستم Al-Cu-Ni دارای فازهای منظم تهی جای (VOP)<sup>۶</sup>،  $\tau_3$ ، می‌باشد که به عنوان شبه بلورهای بلورهای تک بعدی بیان می‌گرددند [۸]. این نوع فاز را می‌توان به صورت یک سلول واحد از نوع (CsCl) B2 در نظر گرفت که اتمهای فلز انتقالی و تهی جای‌ها در جهت گرفت که اتمهای فلز انتقالی و تهی جای‌ها در جهت منظم شده اند [۸ و ۹] که در این جهت انتلاقی مناسبی با شبه بلور دکاگونال که دارای تقارن ۱۰ وجهی می‌باشد، دارد [۱۰]. دانگ با مطالعه بر روی فاز B2 دریافت که تعداد الکترون‌های لایه ظرفیت این فاز شبیه یک شبه بلور است. فاز شبه بلوری  $\tau_3$  (نوع  $Al_3Ni_2$ ) یک شبکه رومبودرال تغییر یافته (هگزاگونال) را نشان می‌دهد، بنابراین می‌تواند به عنوان یک سوپرساختار فاز B2، براساس نظم بین اتمهای فلز انتقالی و تهی جای‌ها، در طول جهت [۱۱] در لایه‌های (۱۱۱) در نظر گرفته شود.

<sup>1</sup>- Quasicrystals

<sup>2</sup>- Icosahedral

<sup>3</sup>- Octagonal

<sup>4</sup>- Decagonal

<sup>5</sup>- Dodecagonal

<sup>6</sup>- Vacancy Ordered Phase

همچنین اندازه بلور فاز شبه بلور  $\tau_3$ ، در نمونه‌های تهیه شده به کمک روش شر روسط رابطه زیر محاسبه گردید [۱۹]:

$$D = k\lambda/(\beta \cos\theta) \quad (2)$$

در این رابطه  $k = 1$ ،  $\lambda = 1/5418 \text{ \AA}$ ،  $\theta = 10^\circ$  زاویه پراش پرتو ایکس و  $\beta$  پهنه‌ای پیک در نصف ارتفاع پیک در زاویه  $\theta$  می‌باشد.

به منظور بررسی رفتار خوردگی الکتروشیمیایی آلیاژها، فرصهای تهیه شده پس از پولیش و تمیز شدن با الكل و اتصال سیم رسانای مسی، توسط رزین اپوکسی عایق کاری گردیدند، به گونه‌ای که سطح کاری برابر با  $0.452 \text{ cm}^2$  حاصل شد. محیط تست خوردگی محلول  $0.3\% \text{ SDS}$  کلراید انتخاب شد. آزمون پلاریزاسیون خطی توسط سیستم سه الکتروودی با الکتروود کمکی از جنس پلاتین و الکتروود مرجع از جنس Ag/AgCl در دستگاه PGSTAT302 Autolab مدل  $10 \text{ mv/s}$  با سرعت اسکن  $10 \text{ mv/s}$  و در دمای محیط انجام شد. پس از انجام آزمون خوردگی، بر اساس استاندارد ASTM-G59 [۲۰] مقاومت پلاریزاسیون ( $R_p$ ) قطعات خورد شده توسط معادله

$$R_p = (\rho \Delta E / \rho i)_{i=0}, \quad dE/dt = 0 \quad (3)$$

محاسبه شد که  $i = \rho \Delta E / \rho i$  شیب نمودار پتانسیل-دانسیته جریان در  $i = 0$  می‌باشد. سپس با در دست داشتن مقاومت پلاریزاسیون، دانسیته جریان خوردگی،  $i_{corr}$  از راه روابط زیر محاسبه گردید [۲۰]:

$$B = b_a b_c / (2.303(b_a + b_c)) \quad (4)$$

$$i_{corr} = 10^6 B / R_p \quad (5)$$

که در آن  $B$  ضریب Stern-Geary بوده و  $b_c$  و  $b_a$  به ترتیب شیب تألف نمودارهای پلاریزاسیون آندی و کاتدی می‌باشند. در نهایت بر اساس استاندارد ASTM-G102، نرخ خوردگی بر حسب میلی متر در سال (mpy) توسط رابطه زیر محاسبه شد [۲۱]:

$$CR = K i_{corr} EW / \rho \quad (6)$$

در این رابطه،  $\rho = 3/27 * 10^{-3} \text{ mm g}/\mu\text{A cm yr}$  چگالی آلیاژ بر حسب  $\text{g}/\text{cm}^3$  و  $EW$  وزن اکی والان آلیاژ می‌باشد و برابر است با [۲۱]:

$$EW = 1 / (J(n_i f_i / W_i)) \quad (7)$$

حرارتی بعدی تولید شده و اثر دمای عملیات حرارتی بر تشکیل فاز شبه بلوری و رفتار خوردگی آنها مورد بررسی قرار گرفته است.

## مواد و روش پژوهش

در این کار، مواد اولیه شامل پودرهای آلومینیوم، مس و نیکل با خلوص بالا می‌باشند که به ترتیب با نسبت  $70:20:20$  توسط آسیاب گلوله‌ای سیارهای با گلوله و محفظه‌ای از جنس فولاد تمپر شده، در اتمسفر آرگون و در دمای محیط به مدت ۲۴ ساعت، تحت عملیات آسیاکاری قرار گرفتند. سرعت آسیاکاری  $450$  دور بر دقیقه و نسبت وزنی گلوله به پودر  $20$  به  $1$  انتخاب گردید. سپس پودرها تحت فشار توسط دستگاه پرس تک محوری به فرصهایی با قطر  $7/36$  میلی متر تبدیل شدند و در دماهای  $750^\circ\text{C}$ ،  $800^\circ\text{C}$  و  $850^\circ\text{C}$  درجه سانتیگراد در فشار محیط در کوره به مدت ۸ ساعت آنلیل گردیدند و بلا فاصله در مخلوط یخ و آب (دمای صفر درجه سانتیگراد) سرد شدند. جهت جلوگیری از اکسید شدن نمونه‌ها در حین عملیات حرارتی، قبل از قرار دادن نمونه‌ها در کوره، در لوله‌هایی از جنس کوارتز در شرایط خلا کپسوله شدند و سپس بر روی آن‌ها عملیات حرارتی مناسب صورت گرفت. روند تغییرات فازی و ساختاری قطعات در دماهای  $CuK_\alpha$  مختلف توسط پراش پرتو ایکس (XRD) با پرتو  $40 \text{ mA}$  با  $\lambda = 0.154 \text{ nm}$  در ولتاژ  $40 \text{ kV}$  و آمپراژ  $40 \text{ mA}$  با دستگاه Pananalytical, X $\oplus$ Pert Pro PMD مورد بررسی XRD گرفت و در نهایت آنالیز کیفی نتایج حاصل از به کمک نرم افزار Match نسخه 2012 و  $x\oplus$ pert به آنالیز کمی جهت تعیین درصد فاز شبه بلور  $\tau_3$  در آلیاژهای تهیه شده با استفاده از فرمول زیر بدست آمد [۱۸]:

$$(intense peak) + I_0 (intense peak)] \quad (1)$$

$\tau_3 \text{ phase } (\%) = I_{\tau_3} (\text{intense peak}) / [I_{\tau_3} (\text{intense peak}) + I_0 (\text{intense peak})]$  که در این رابطه  $I_{\tau_3}$  شدت پیک بلندترین پیک مربوط به فاز  $\tau_3$  و  $I_0$  شدت پیک بلندترین پیک مربوط به فاز  $\theta$  می‌باشد. از آنجایی که آلیاژهای تهیه شده دو فازی بودند، مقدار فاز دوم ( $\theta$ ) از رابطه  $\tau_3 \text{ phase } = 100 - 100 \times I_{\tau_3} / I_0$  قابل محاسبه می‌باشد.

قابل توجه است که پیک (۱۰۰) در الگوی پراش اشعه X تأیید کننده تشکیل فاز  $\tau_3$  می‌باشد و نمی‌توان این پیک را به فاز B2 نسبت داد در حالی که بقیه پیک‌ها بر اساس فاز B2 اندیس گذاری می‌شوند. موقعیت پیک‌ها و پارامتر شبکه نمونه‌های آلیاژی شده بر اساس گزارشات یادا و همکارانش [۲۳] (هگزاگونال  $a=4.1050\text{\AA}$ ,  $\text{Al}_3\text{Ni}_2$  ( $c=4.065\text{\AA}$ ) مشابه فاز  $\tau_3$  از نوع  $c=4.9541\text{\AA}$  می‌باشد. این افزایش در پارامتر شبکه به دلیل اتم‌های مس و اثرات نانو بلوری شدن می‌باشد [۱۱]. با آنالیز پنهانی پیک، در نمونه‌ی  $\text{Al}_{70}\text{Cu}_{20}\text{Ni}_{10}$  ۲۴ ساعت آسیاکاری شده و آنیل شده در دماهای ۷۵۰ و ۸۰۰ درجه سانتیگراد و با استفاده از رابطه شرر، اندازه بلور محاسبه گردید. همان‌گونه که در شکل (۲) قابل مشاهده است، در هر سه مورد شبکه بلور  $\tau_3$  دارای اندازه بلور در مقیاس نانو می‌باشد که این مقدار از ۵۷ نانومتر در  $750^\circ\text{C}$  به مقدار ۸۹ نانومتر در دمای  $850^\circ\text{C}$  افزایش می‌یابد. همچنین اندازه بلور در فاز  $\theta$ ، در دماهای  $850^\circ\text{C}$ ،  $800^\circ\text{C}$  و  $850^\circ\text{C}$  به ترتیب ۸۸، ۸۰ و ۹۸ نانومتر به دست آمد.

جهت بررسی رفتار خوردگی ترکیب تولید شده، قطعات پس از آماده سازی سطحی، در دمای محیط در محلول ۳/۵٪ وزنی کلر و سدیم، تحت آزمون پلاریزاسیون خطی قرار گرفتند. شکل (۳) نمودار پلاریزاسیون را برای قطعات آنیل شده در دماهای ۷۵۰، ۸۰۰ و  $850^\circ\text{C}$  درجه سانتیگراد نشان می‌دهد. با توجه به شکل، مشاهده می‌شود که با افزایش دمای عملیات حرارتی، میزان پتانسیل خوردگی، از مقدار  $0/85^\circ\text{C}$ - ولت در دمای  $C \Rightarrow 750^\circ\text{C}$  به  $0/45^\circ\text{C}$ - ولت در دمای  $C \Rightarrow 850^\circ\text{C}$  افزایش و دانسیته جریان خوردگی نیز به همین منوال کاهش یافته است، همچنین نرخ خوردگی به ترتیب در دماهای  $C \Rightarrow 750^\circ\text{C}$ ،  $800^\circ\text{C}$  و  $850^\circ\text{C}$  از  $0/66^\circ\text{mm/year}$  به  $0/35^\circ\text{mm/year}$  و  $0/37^\circ\text{mm/year}$  کاهش یافته است. بر اساس مطالعات راجر و کاستر [۲۴ و ۷] در محلول‌های اسیدی، میزان مس در فاز مورد نظر، پتانسیل خوردگی را تعیین می‌کند. فازهای با مقادیر بالای مس دارای پتانسیل خوردگی بالا می‌باشند و بنابراین از حملات خوردگی مصون می‌مانند، در حالی که فازهای با مقادیر کم مس، پتانسیل خوردگی کمتری دارند و مستعد خوردگی

$n_i$  ظرفیت عنصر  $i$  در آلیاژ،  $f_i$  کسر جرمی عنصر  $i$  در آلیاژ و  $W_i$  وزن اتمی عنصر  $i$  در آلیاژ می‌باشد.

## نتایج و بحث

جهت بررسی تشکیل فاز نانوشبه بلور  $\tau_3$  در ترکیب  $\text{Al}-20\text{Cu}-10\text{Ni}$ ، قطعات تولید شده از آلیاژسازی مکانیکی به مدت ۸ ساعت در دماهای ۷۵۰ و  $800^\circ\text{C}$  درجه سانتیگراد قرار گرفتند. نتایج XRD مربوط به هر قطعه در شکل (۱) نشان داده شده است. همان‌گونه که ملاحظه می‌شود فاز غالب در تمام دماهای، فاز  $\tau_3$  است و در کنار آن ترکیب بین فلزی  $\theta$  نیز تشکیل گردیده است. با توجه به اینکه پیک اصلی فاز  $\theta$  در زاویه  $47^\circ$  و فاز  $\tau_3$  در زاویه  $45^\circ$  واقع شده است و بر اساس نسبت شدت<sup>۱</sup> پیک‌های اصلی هر دو فاز، در دمای پایین، میزان فاز  $\theta$  بیشترین مقدار را دارد و با افزایش دما، میزان فاز  $\tau_3$  افزایش می‌یابد. براساس رابطه (۱) در دمای  $850^\circ\text{C}$  فاز  $\tau_3$  دارای مقدار ۹۳٪ می‌باشد و در دماهای پایین  $750^\circ\text{C}$  به ترتیب دارای مقادیر ۸۹٪ و ۸۶٪ می‌باشد. در مقابل، مقدار ترکیب بین فلزی  $\theta$  با افزایش دما از ۱۴٪ در دمای  $750^\circ\text{C}$  به ۷٪ در دمای  $850^\circ\text{C}$  کاهش می‌یابد. جدول ۱ بیان کننده این موضوع می‌باشد. با افزایش دما، شدت و تیزی<sup>۲</sup> پیک‌های  $\tau_3$  افزایش یافته است که این را می‌توان به منظم شدن، از بین رفتن نقایص، آزاد شدن کرنش و درشت شدن دانه نسبت داد [۱۱ و ۲۲]. باید توجه داشت که فاز  $\tau_3$  یک سوپرساختار از فاز B2 با تهی جای ساختاری در جهت [۱۱۱] می‌باشد. درجه نظم فوق شبکه<sup>۳</sup> را می‌توان با محاسبه نسبت شدت پیک (۱۰۰) یا (۱۰۱) به پیک (۱۰۲)، تخمین زد که با افزایش دما زیاد شده است [۱۱]. در شرایط بین‌نظم این نسبت صفر است که مربوط به ساختار فاز B2 می‌باشد که به صورت جزئی منظم شده است. همان‌گونه که در جدول (۲) ذکر شده است، با افزایش دما، شدت نسبت به این پیک افزایش یافته که نشان دهنده افزایش نظم فوق شبکه می‌باشد.

<sup>1</sup>-Intensity

<sup>2</sup>-Sharpness

<sup>3</sup>- Super Lattice

فازهای غنی از مس فازهای اصلی هستند، مقادیر پتانسیل خوردگی نجیب تر از آلیاژهایی هستند که فازهای غنی از مس ساختار اصلی آلیاژ نمی‌باشد [۲۵].

از آنجایی که ترکیب فاز  $\tau_3$  ترکیبی نزدیک  $\theta$  است و در این مورد فاز غالب نیز می‌باشد، بنابراین پتانسیلی منفی تر از فاز  $\theta$  مورد انتظار است. اما طبق نتایج بدست آمده با افزایش فاز  $\tau_3$ ، پتانسیل خوردگی به سمت مقادیر نجیب‌تر و نرخ خوردگی به سمت مقادیر کمتر جابجا شده است. این نتایج مؤید رفتار خوردگی مناسب‌تر فاز  $\tau_3$  نسبت به  $\theta$  می‌باشد. این رفتار را می‌توان به نوع ساختار فاز  $\tau_3$  (شبه بلوری) در مقایسه با ساختار بلوری ترکیب  $\theta$  نسبت داد.

می‌باشد. در مقابل در محلول‌های بازی، مقادیر بالای مس منجر به مثبت تر شدن پتانسیل خوردگی ولیکن افزایش نرخ انحلال به دلیل اثر تخریبی مس بر روی تشکیل لایه-ای کسیدی روی سطح می‌گردد. در محلول نمک شامل  $3/5\% \text{ KClO}_3$ ، پتانسیل خوردگی آلیاژهای پایه آلومینیوم-مس، کمترین مقدار را در میان الکتروولیت‌های اسیدی و بازی دارد. در این محلول، انحلال همگن رخ می‌دهد و به صورت رسوب گذاری مجدد مس می‌باشد. نرخ انحلال با مقدار فازهای غنی از مس تعیین می‌شود. هرچه فازهای غنی از مس بیشتر، به دلیل اثر تخریبی مس بر لایه اکسیدی، نرخ انحلال نیز بیشتر خواهد بود [۲۵].

طبق بررسی‌های به عمل آمده، نه تنها ترکیب فازها بلکه مقادیر نسبی آن‌ها در آلیاژ در عملکرد خوردگی نقش مهمی دارد. به طور مثال در آلیاژهای  $\text{Al}-\text{Cu}-\text{Fe}$  جایی که

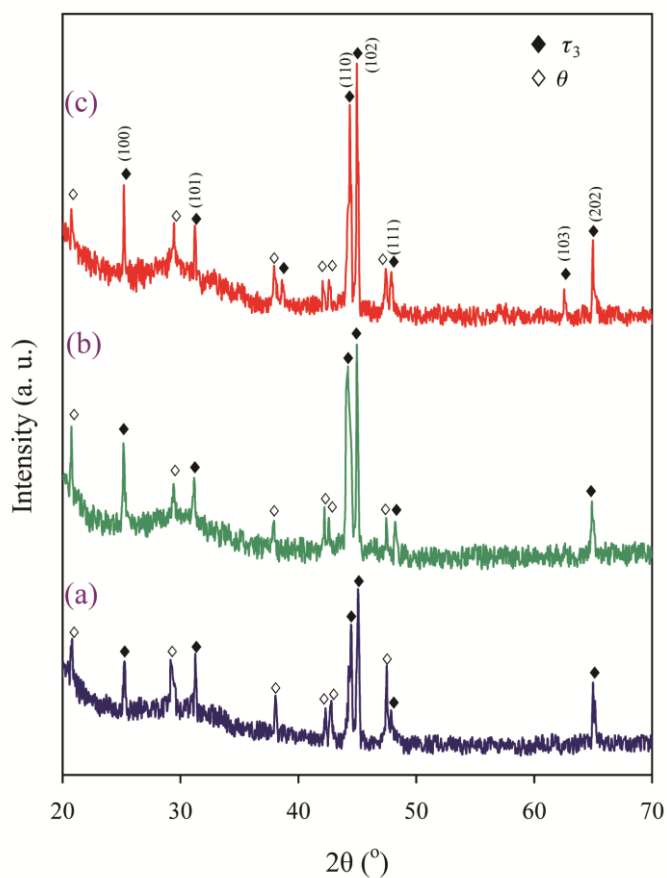
جدول ۱- درصد وزنی فازهای ایجاد شده در دماهای آنیل گوناگون.

$\theta$	$\tau_3$	دما آنیل (°C)
۱۴ (۳)	۸۶ (۳)	۷۵۰
۱۱ (۲)	۸۹ (۲)	۸۰۰
۶ (۲)	۹۴ (۲)	۸۵۰

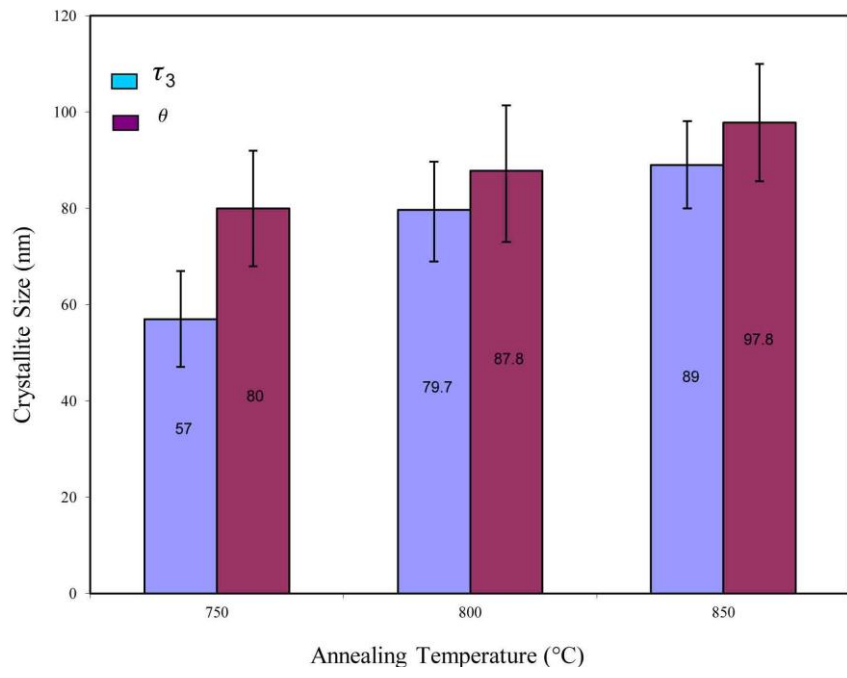
در صد خط (X) : ± درصد وزنی

جدول ۲- محاسبه درجه نظم فوق شبکه آلیاژهای تهیه شده در دماهای آنیل مختلف.

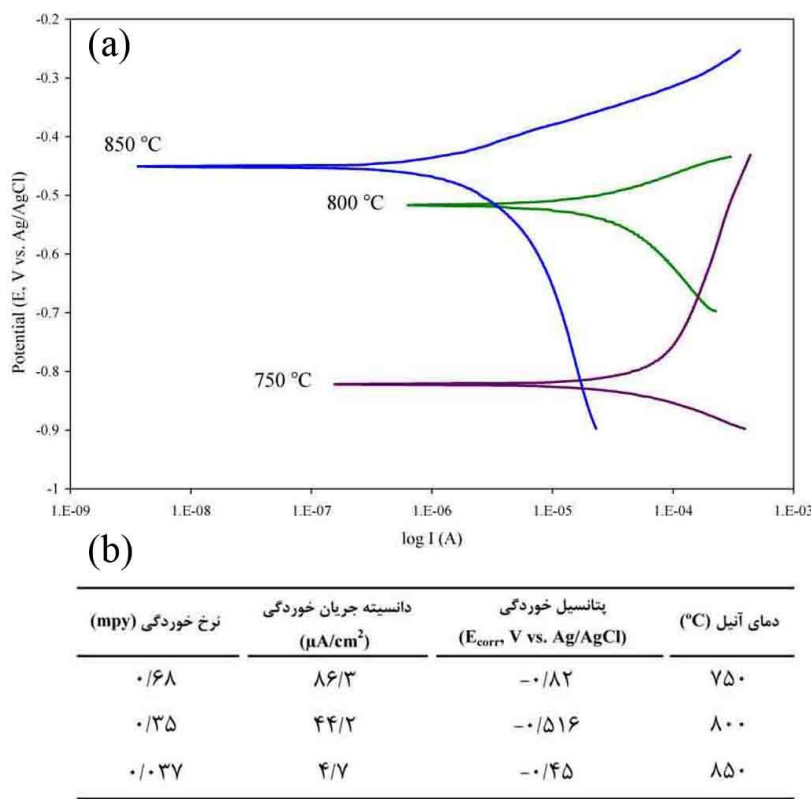
درجه نظم سوپر شبکه (۱۰۰) به (۱۰۲)	شدت نسبی (۱۰۰) به (۱۰۲)	دما آنیل (°C)
۰/۳۵		۷۵۰
۰/۴۲		۸۰۰
۰/۴۳		۸۵۰



شکل ۱- الگوی پراش اشعه ایکس قطعات آلیاژی شده و عملیات حرارتی شده در دماهای (a) ۷۵۰°C (b) ۸۰۰°C و (c) ۸۵۰°C



شکل ۲- نمودار تغییرات اندازه دانه نمونه های تهییه شده با تغییرات دما.



شکل ۳- (a) نمودار پلاریزاسیون خطی قطعات آماده سازی شده به روش آلیاژسازی مکانیکی و عملیات حرارتی بعدی در دماهای ۷۵۰، ۸۰۰ و ۸۵۰ درجه سانتیگراد، (b) جریان، پتانسیل و نرخ خوردگی نمونه های تست شده در محلول ۳/۵٪ سدیم کلراید.

که تأیید کننده رفتار خوردگی مناسب این فاز نسبت به ترکیب بلوری بین فلزی  $\theta$  می باشد.

### Reference

1. E. H. Saarivirta, "Microstructure, Fabrication and Properties of Quasicrystalline Al–Cu–Fe Alloys: a review", Journal of Alloys and Compounds Vol.363, pp. 150–174, 2004.
2. J. Eckert, "Milling Induced Phase Transitions and Quasicrystal Formation in Al-Cu-Based Alloys", Materials Science Forum, Vol. 88-90, pp. 679-686, 1992.
3. P. Archambault, P. Plaindoux, E Belin-Ferre and J. M. Dubois, "Thermal and Electronic Properties of an AlCoFeCr Approximant of the Decagonal Phase", journal of Materials Research, Vol. 553, 1998.

### نتیجه گیری

در این پژوهش تشکیل نانو شبه بلور تک بعدی  $\tau_3$  در سیستم آلیاژی Al-Cu-Ni به کمک روش آلیاژسازی مکانیکی و عملیات حرارتی بعدی بررسی گردید و نتایج زیر حاصل شد:

۱. فاز غالب  $\tau_3$  پس از ۲۴ ساعت آسیا کاری و عملیات حرارتی بعدی در دماهای  $C \Rightarrow 750, 800, 850$  در ساختار نمایان گردید.

۲. در کنار فاز شبه بلور  $\tau_3$ ، ترکیب بلوری بین فلزی  $\theta$  نیز تشکیل گردید که با افزایش دمای عملیات حرارتی مقدار آن کاهش یافت.

۳. با افزایش دمای عملیات حرارتی، نظم فوق شبکه افزایش یافت.

۴. با انجام آزمون پلاریزاسیون خطی بر روی نمونه های تهیه شده، افزایش پتانسیل خوردگی و کاهش جریان خوردگی آلیاژ با افزایش دما و در نتیجه افزایش میزان فاز نانو شبه بلور  $\tau_3$  قابل مشاهده بود

12. T.B. Massalski (Editor), "Binary Alloy Phase Diagrams", ASM, Metals Park, OH, 1986.
13. P. RamachandraRao and M. Laridjani, "A metastable phase Al<sub>3</sub>Cu<sub>2</sub>", Journal of Materials Science, Vol. 9, pp. 434, 1994.
14. T.P. Yadav, R. M. Yadav, D. P. Singh, "Mechanical Milling: a Top Down Approach for the Synthesis of Nanomaterials and Nanocomposites", Nanoscience and Nanotechnology, Vol. 2(3), pp. 22-48, 2012.
15. C. Suryanarayana, "Mechanical Alloying and Milling", Marcel Dekker, New York, 2004.
۱۶. ح. احمدی، م. علیزاده، ر. امینی، م.ر. غضنفری و م. غفاری، "بررسی ساختاری و ریزساختاری نانو ذرات دی الکتریک تیتانات کلسیم- مس تولید شده به روش مکانوشیمیابی"، مجله مواد نوین، جلد ۱ شماره ۴، ص ۵۳-۶۱، تابستان ۱۳۹۰.
۱۷. ع. عبدالالهی و ع. علیزاده، "تولید نانوکامپوزیت دو جزئی فوق مستحکم زمینه آلومینومی به روش آلیاز سازی مکانیکی و اکستروژن داغ و بررسی خواص مکانیکی آن"، مجله مواد نوین، دوره ۴ شماره ۱۳، ص ۸۳-۹۸، پاییز ۱۳۹۲.
18. Y-J. Hsiao, Y-S. Chang, Te-Hua Fang, Yin-Lai Chai,C.-Y. Chung and Y. Chang, "High Dielectric Permittivity of Li and Ta Codoped Nio Ceramics", Journal of Physics D: Applied Physics, Vol. 40, pp. 863–868, 2007.
19. P. Scherrer, "Determining the size and interior structure of colloidal particles by means X-ray, News of the Society of Sciences, Göttingen", Mathematics and Physical Class, Vol. 2, pp. 98-100, 1918
20. ASTM Designation G59-99, Standard Test Method for Conducting Potentiodynamic Polarization Resistance Measurements, ASTM, West Conshohocken, PA, 1999.
21. ASTM Designation G 102 – 89, Standard Practice for Calculation of
4. Kang S.S. and Dubois J.M., "Pressure-Induced Phase Transitions in Quasicrystals and Related Compounds", Europhysics Letters, Vol. 18, pp. 46, 1992.
5. J. von Stebut, C. Strobel, J.M. Dubois, in: C. Janot and R. Mosseri. (Eds.), "Mechanism of the Phase Transformation in Decagonal Phases", Proceedings of the Fifth International Conference on Quasicrystals (ICQ5), Singapore, World Scientific, pp. 704, 1996.
6. S.L. Chang, W.B. Chin, C.M. Zhang, C.J. Jenks, P.A. Thiel., "Oxygen Adsorption on a Single-Grain, Quasicrystal Surface", Surface Science, Vol. 337, pp. 135, 1995.
7. A. Rüdiger\_, and U. Köster, "Corrosion Behavior of Al-Cu-Fe Quasicrystals", Materials Science and Engineering, Vol. 294–296, pp. 890–893, 2000.
8. G.Vantendeloo, C. Van Heurck, and S. Amelinckx, "One-Dimensional Quasicrystals in the Ternary System Al-Cu-Ni?", Solid State Communications, Vol. 71, pp. 705-710, 1989.
9. K. Chattopadhyay, S. Lele, S. Ranganathan, N. Thangaraj, "Vacancy Ordered Phases and One - Dimensional Quasiperiodicity", ActaMetallurgica, Vol. 35, pp. 727, 1987.
10. Hong Zhang, K.H. Kuo, "The Decagonal Quasicrystal and Its Orientation Relationship with the Vacancy Ordered CsCl Phase in Al-Cu-Ni Alloy", Scripta Metallurgica, Vol. 23, pp. 355, 1989.
11. T. P. Yadav, N. K. Mukhopadhyay, R. S. Tiwari and O. N. Srivastavay, "Formation of Al<sub>3</sub>Ni<sub>2</sub>-type Nanocrystalline S3 Phases in the Al–Cu–Ni System by Mechanical Alloying", Philosophical Magazine Letters, Vol. 87, pp. 781–789, 2007.

- Corrosion Rates and Related Information From Electrochemical Measurements, ASTM, West Conshohocken, PA, 1999.
- 22. T.P. Yadav, N.K. Mukhopadhyay, R.S. Tiwari and O.N. Srivastava, "Study on the Formation of Nano Vacancy Ordered Phases by Mechanical Alloying", Chemistry for Sustainable Development, Vol. 15, pp. 259-263, 2007.
  - 23. Powder Diffraction File (Joint Committee on Powder Diffraction Standards, Swarthmore, PA, 1990) No. 60696.
  - 24. A. Rüdiger, and U. Köster, "Corrosion of Al–Cu–Fe Quasicrystals and Related Crystalline Phases", Journal of Non-Crystalline Solids, Vol. 250–252, pp. 898, 1999.
  - 25. E. Saarivirta, and T. Tiainen, "Corrosion Behaviour of Al–Cu–Fe Alloys Containing a Quasicrystalline Phase", Materials Chemistry and Physics, Vol. 85, pp. 383–395, 2004.

